



Fig. 286. Atrio (2): impluvio di tufo con bordo modanato (SAMPAOLO 1993 a, p. 278)



Fig. 287. Triclinio (14): parete est (SAMPAOLO 1993 a, p. 286, fig. 17)

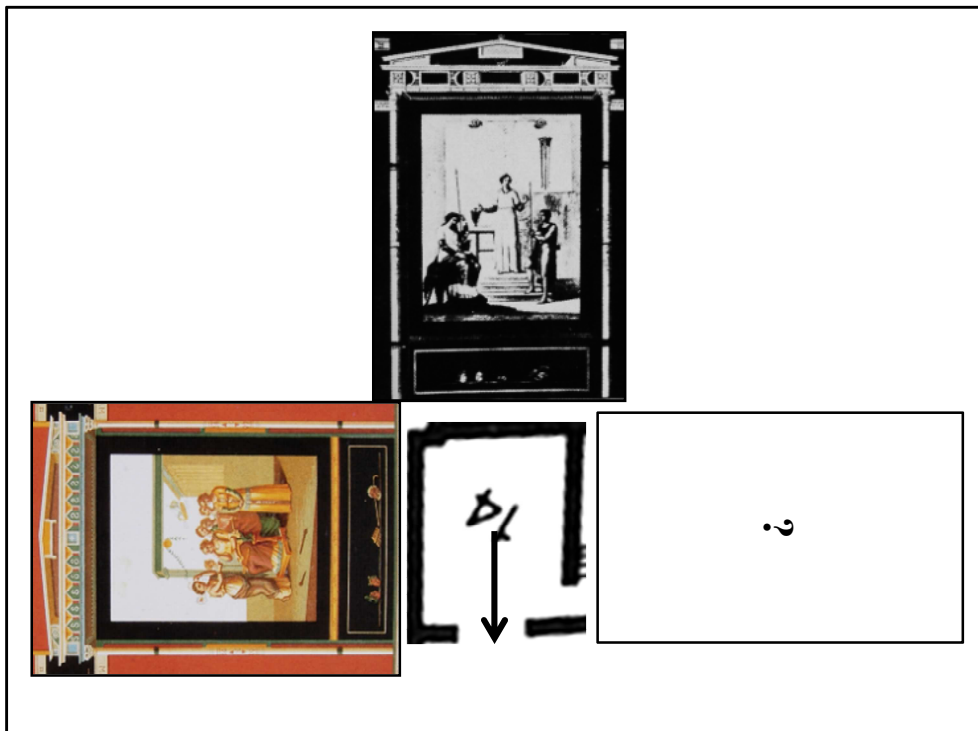


Fig. 288. La quadreria del triclinio (14) (rielaborazione delle immagini in SAMPAOLO 1993 a, pp. 278, 287 e 289, figg. 18 e 20)

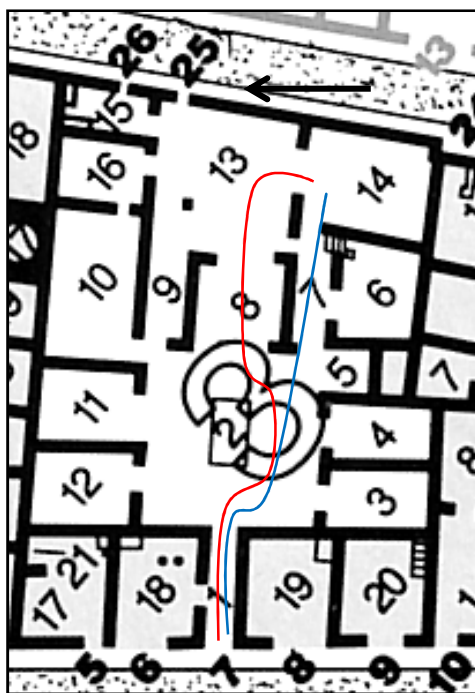


Fig. 289. Il doppio percorso per raggiungere il triclinio (14) dall'ingresso. Linea rossa: tragitto per le stanze di carattere pubblico; linea blu: tragitto «informale» (rielaborazione dell'immagine in SAMPAOLO 1993 a, p. 278)

**Pompei, Casa di Meleagro (6 9, 2, 13)**

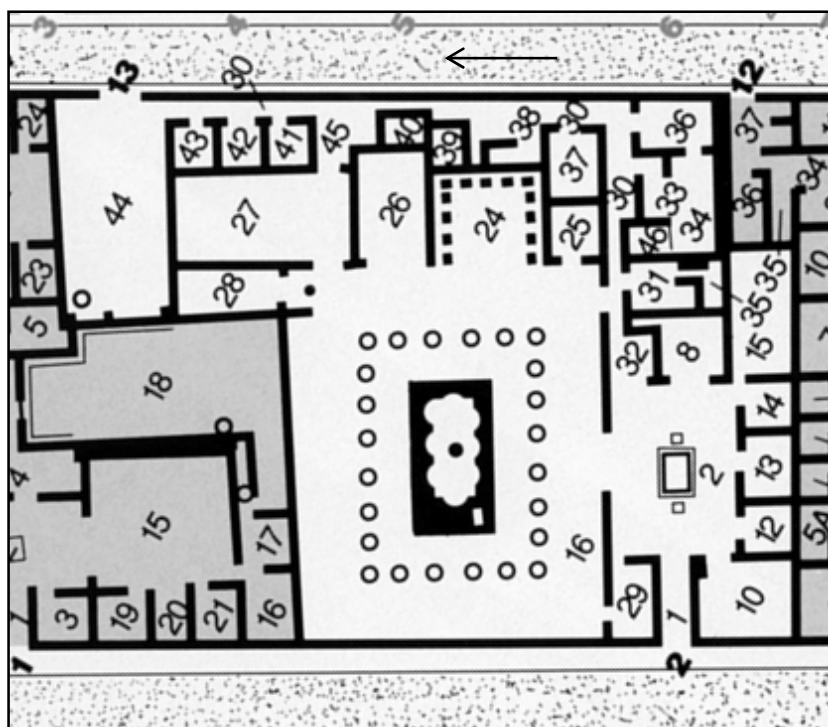


Fig. 290. Planimetria della *domus* (BRAGANTINI 1993 c, p. 660)



Fig. 291. Atrio (2): veduta da S-E  
(BRAGANTINI 1993 c, p. 670, fig. 24)



Figg. 292 a-b. Atrio (2): dettagli dei trapezofori  
(BRAGANTINI 1993 c, pp. 672-673, figg. 32 e 34)



Figg. 293 a-b. Tablino (8): Io custodita da Argo, nord; Marte e Venere, sud  
(BRAGANTINI 1993 c, pp. 681-682, figg. 50-51)



Fig. 294. Tablino (8): dettaglio della parte superiore in stucco (BRAGANTINI 1993 c, p. 684, fig. 53)

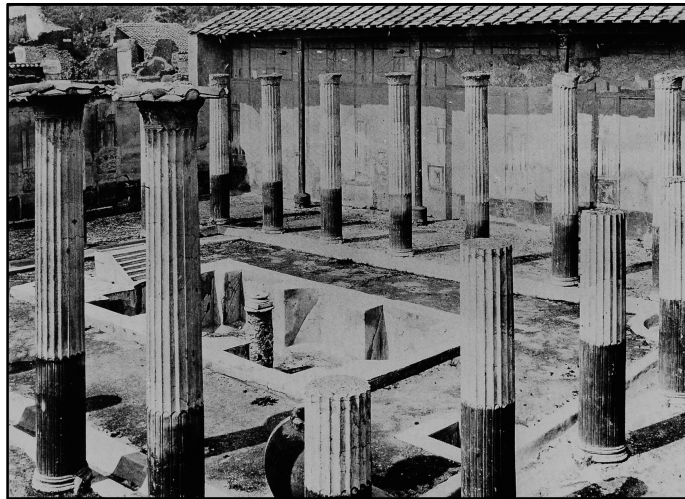
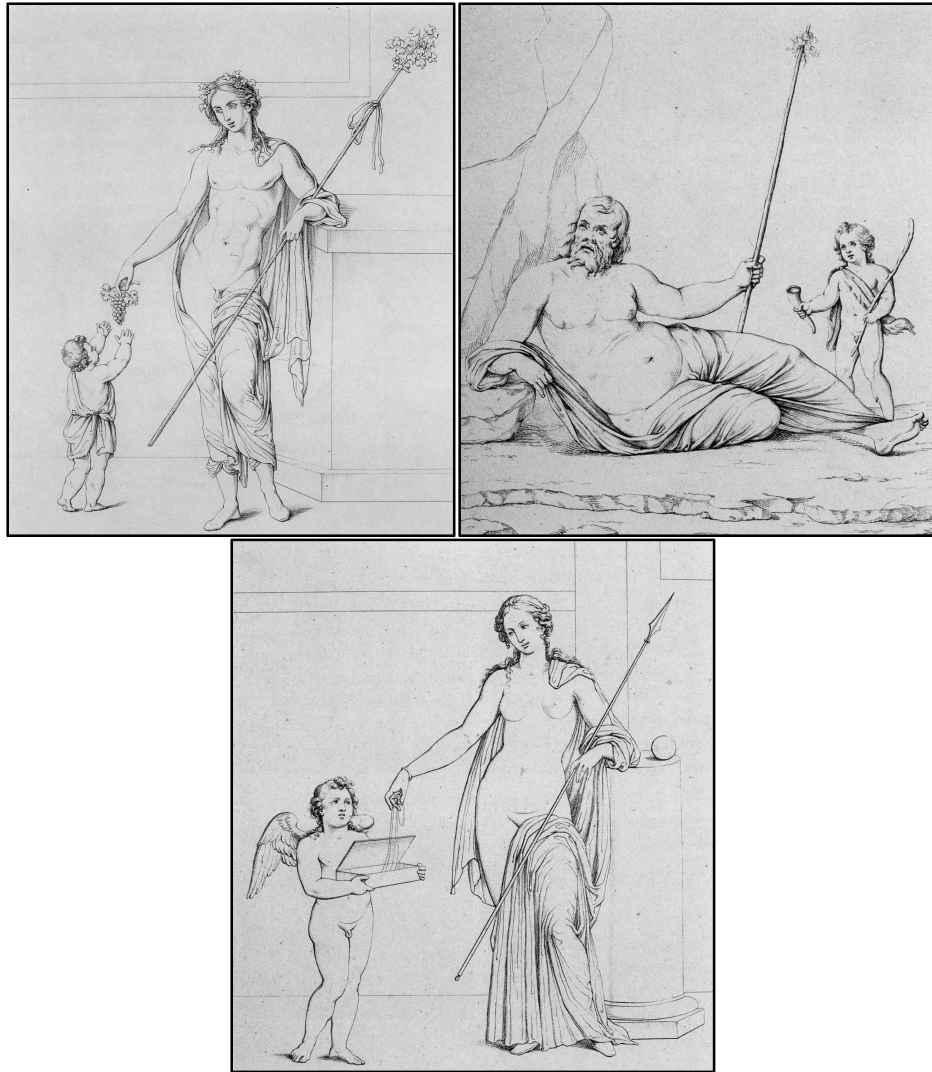


Fig. 295. Peristilio (16): veduta da S-E (BRAGANTINI 1993 c, p. 700, fig. 83)



Fig. 296. Peristilio (16): veduta della parete nord con le tracce dell'asportazione dei quadri (BRAGANTINI 1993 c, p. 792, fig. 84)



Figg. 297 a-c. Peristilio (16):parete nord: Dioniso offre un grappolo d' uva a bambino e Sileno con genio bacchico; Venere con un erote (BRAGANTINI 1993 c, pp. 711-713, figg. 101-103)



Fig. 298. *Oecus corinthio* (24), veduta dal lato ovest (BRAGANTINI 1993 c, p. 722, fig. 123)



Fig. 299. *Oecus* corinzio (24): dettaglio della parte est: paesaggio architettonico (BRAGANTINI 1993 c, p. 731, fig. 146)



Fig. 300. Ambiente (26): veduta dal lato est (BRAGANTINI 1993 c, p. 749, fig. 182)



Fig. 301. Triclinio (27): veduta da S-O (BRAGANTINI 1993 c, p. 767, fig. 207)



Fig. 302. Triclinio (27), parete nord: il giudizio di Paride sulla bellezza delle tre dee  
(BRAGANTINI 1993 c, p. 773, fig. 215)

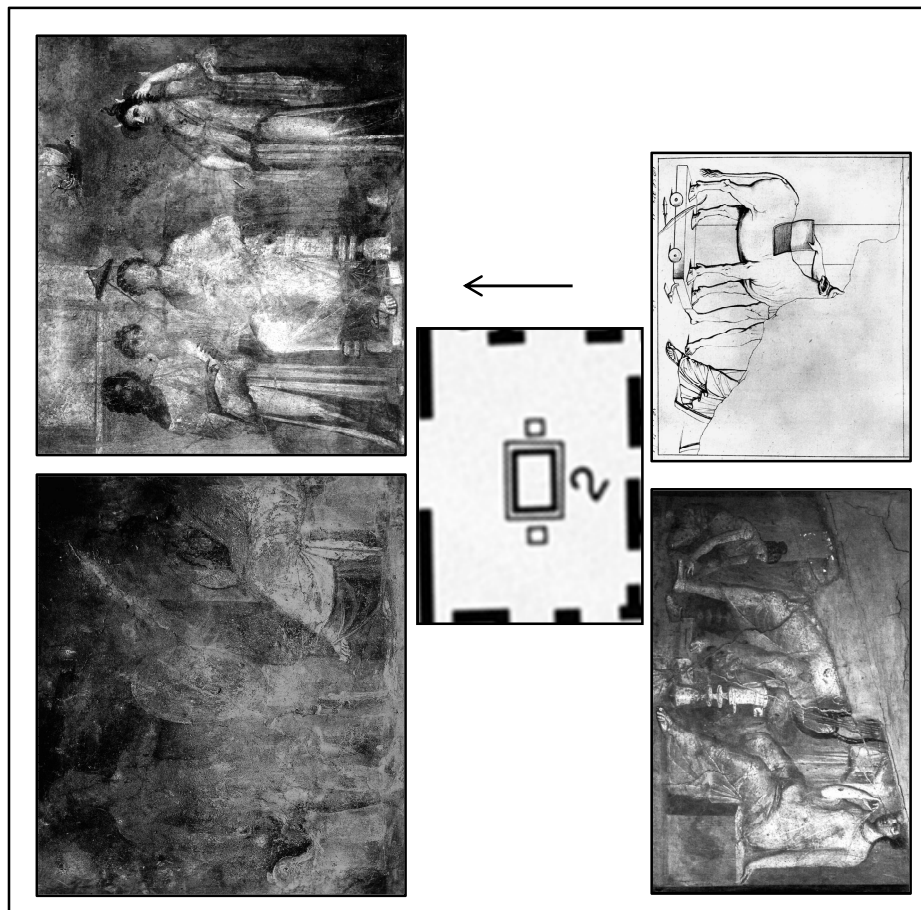


Fig. 303. Triclinio (27), parete nord: il giudizio di Paride sulla bellezza delle tre dee  
(BRAGANTINI 1993 c, pp. 660, 675 e 677-679, figg. 39, 42 e 44-45)

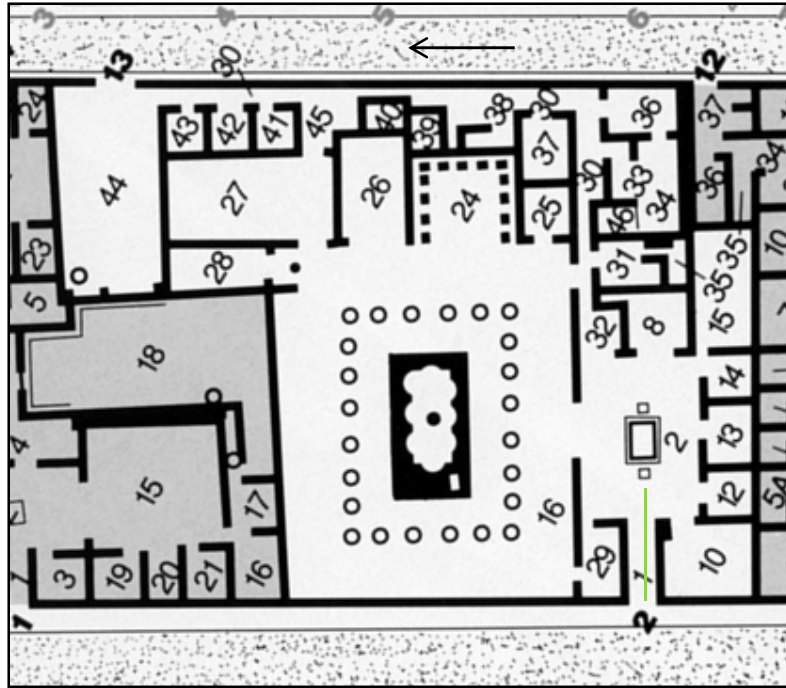


Fig. 304. Percorso per raggiungere l'atrio (2) dall'ingresso (rielaborazione dell'immagine in BRAGANTINI 1993 c, p. 660)

### Il ciclo figurato del mosaico di Low Ham

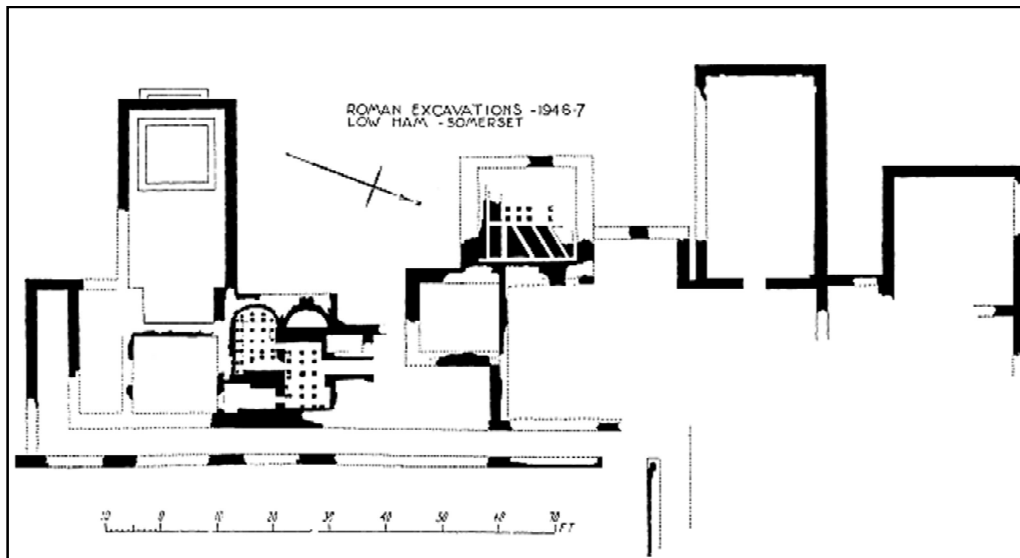


Fig. 305. Planimetria degli ambienti scoperti della villa (WRIGHT 1948, p. 95, fig. 18)

*La sequenza delle scene del mosaico di Low Ham*

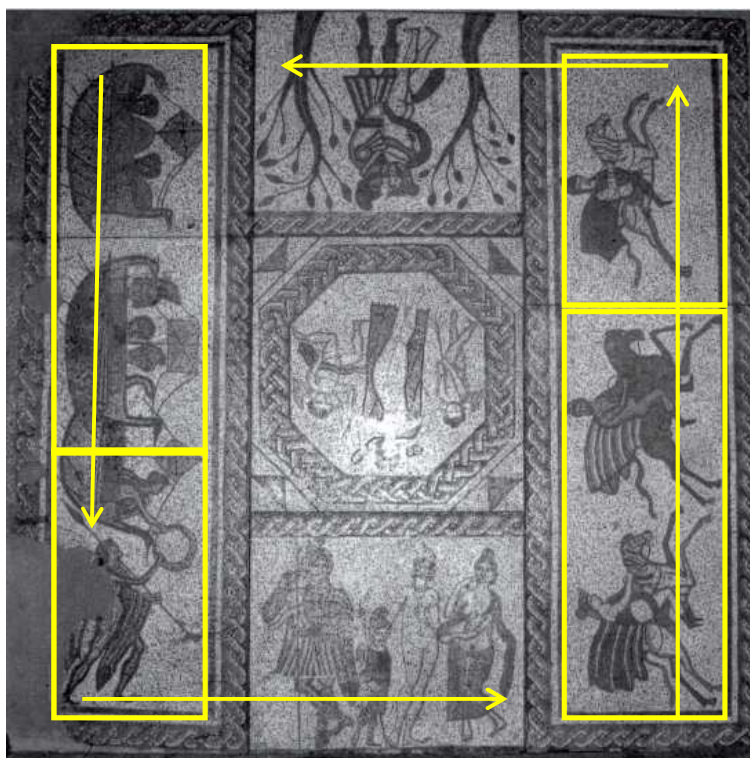


Fig. 306. Schema dell'ipotetica suddivisione delle scene e dell'orientamento dell'azione nel mosaico (rielaborazione dell'immagine in WITTS 2005, p. 48, fig. 13)

*Modelli iconografici*

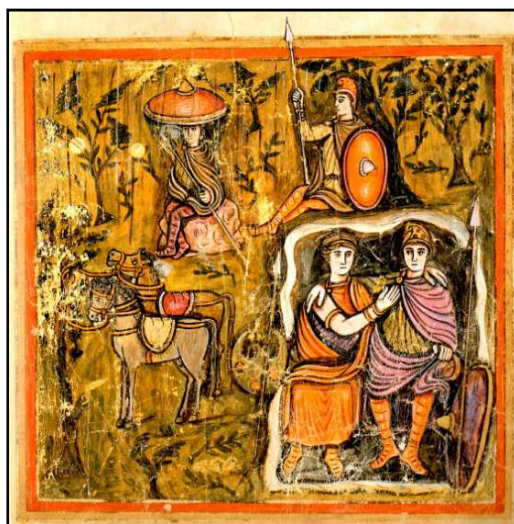


Fig. 307. *Romanus Vaticanus* (V-VI sec. d.C.), fol. 106r: le nozze di Enea e Didone (WRIGHT 2002, p. 31)

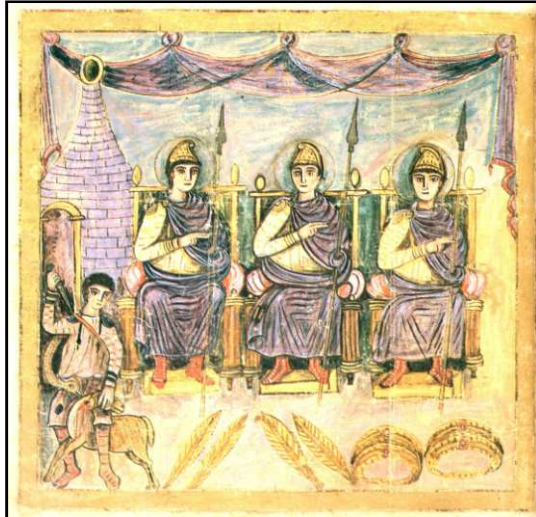


Fig. 308. *Romanus Vaticanus* (V-VI sec. d.C.), fol. 76v: sacrificio in onore di Anchise (WRIGHT 2002, p. 32)

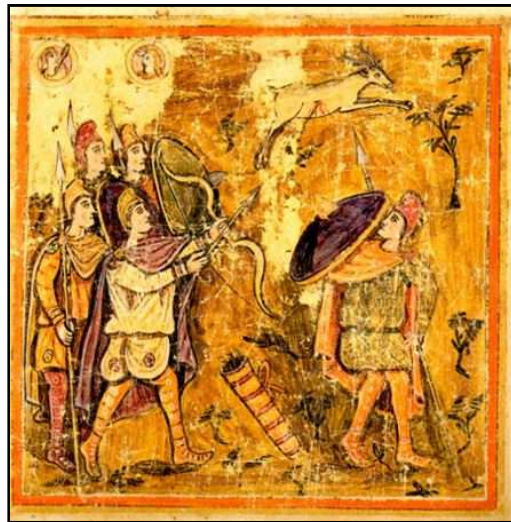


Fig. 309. *Romanus Vaticanus* (V-VI sec. d.C.), fol. 163r: Ascanio ferisce la cerva domestica di Tirro (WRIGHT 2002, p. 35)



Fig. 310. *Romanus Vaticanus* (V-VI sec. d.C.), fol. 188r: Enea contro Turno (WRIGHT 2002, p. 42)



Fig. 311. Nabeul, dettaglio del mosaico con la nascita della fonte Hippocrene, 310-340 d.C. (LANCHA 1997, tav. II)